

(717)

高真空・高温精錬における金属の蒸発
(金属の蒸発現象-2)

日本鋼管 中央研究所 川上 公成

1. 緒言

機能材料や新材料の溶製においては高真空雰囲気下でのクリーンな高温熱源を用いての高温精錬が行われており、この系では金属の蒸発現象の解析は重要である。鉄鋼に比べるとその分野の熱力学的データは乏しいが、鉄鋼との知識をトランスファーしながら検討を行った。

2. 溶解用ビーム火炎の形成

代表例としてエレクトロニ・ビーム溶解(EB)法を選んだ。金谷、岡山¹⁾は入射電子と原子核との nucleus collision を考慮した球形散乱模型を用いて EB ガンによる熱の発生を解析した。直径 $2a$ のビームが照射されたとき試料の表面温度は $T = Q/\pi Ha$ (°C) (Q : 入射熱量, H : 热伝導度) となる。

試料に溶解が生ずるときは修正温度 $T_m = v_m + h_m/c$ を考えれば良い。EB 法では $T_m \geq T_e$ または $\geq T_d^m$ となる (図 1)。

Al-6Al-4V 合金に対する最大温度範囲は合金融点 1922 K から Al の沸点 2750 K までである。

3. ビーム火炎での蒸発・移動現象

ビーム火炎温度に対する T_e , Al, Ti, V の蒸気圧の変化を図 2 に示す。この系の蒸発速度定数 K は次により算出される:

$$\text{蒸発速度の場合 } \phi_1 = \frac{P_{Al}^0 \cdot T_{Al}}{f} \cdot \left[\frac{M_{Al}^2}{2\pi M_{Al} RT} \right]^{1/2} \cdot C^S \quad (1)$$

$$\text{液側拡散速度 } \phi_2 = \frac{V}{A} \cdot \left[\frac{8 D_v}{\pi r h^2} \right]^{1/2} \cdot (C^m - C^S) \quad (2)$$

$$\phi = K_1 \cdot C^S, \phi = K_2 \cdot (C^m - C^S) \text{ より } K = K_1 \cdot K_2 / (K_1 + K_2)$$

T_e 中の Al について $K_2 \gg K_1$ の場合は蒸発速度となる。 $K_1 \gg K_2$ であればバルク中の Al の火炎への拡散が速度となる。 $=$ これは R.G. Ward²⁾ の Fe-Mn 系での濃度線がトランスファーできよう³⁾。図 3 の直線 A-A' は T_{Al} の測定値³⁾、 T_e の沸点においては $K_{Al} = K_{Al}^0$ と仮定して求めたものである。

4. Al 蒸発ロスの低減

図 3 から明らかなように、 T_e 合金の EB 溶解では極力低温を選択するより Al のヒューム・ロスが低減される。中圧力作用式の EB ガンは Al ロスが拡散速度(2)式)の場合には効果がないので確認の必要がある。

[文献] 1) 金谷ら; 電気加工ハンドブック(1970), 2) 川上; 前報, 3) K.Takagi; EB国際会議(1984) Reno, P.89.

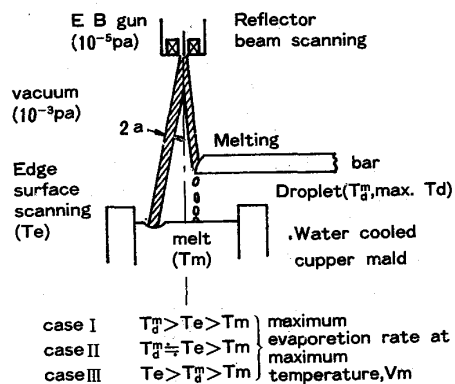


Fig. 1 Schematic sketch of melting and evaporation at E B gun melting furnace.

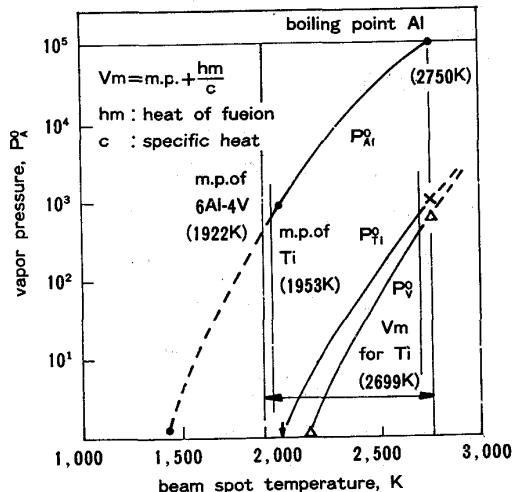


Fig. 2 Relation between beam spot temperature and vapor pressure of Al, Ti and V.

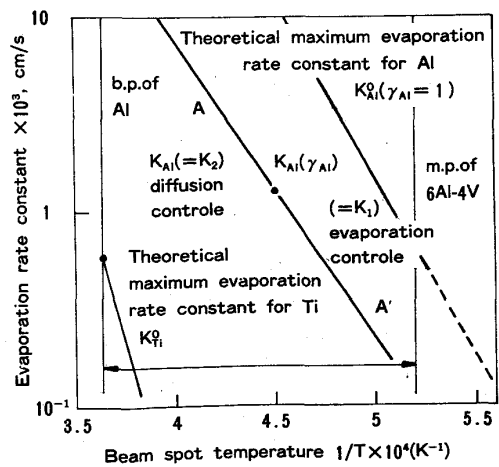


Fig. 3 Relation between beam spot temperature and evaporation rate constant.